



UNIVERSITATEA BABEŞ-BOLYAI
CLUJ-NAPOCA
FACULTATEA DE FIZICA



FENOMENE DE TRANSPORT PRIN SISTEME MOLECULARE COMPLEXE

Teza de doctorat

Doctorand: Radu-Bogdan Isai
Coordonator Stintific prof. dr. Vasile Chiş

2014

Cuprins

1	Introducere	1
2	Metode teoretice	5
2.1	Sisteme multiparticula	5
2.2	Aproximativa Hartree-Fock	8
2.3	Teoria functionalei de densitate	12
2.3.1	Teoremele Hohenberg-Kohn	13
2.3.2	Ecuatiile Kohn-Sham	14
2.3.3	Functionale de schimb-corelatie	17
2.3.4	The adiabatic connection	19
2.3.5	Seturi de baza	21
2.4	Functii Green de neechilibru	23
2.4.1	Introducere	23
2.4.2	Functii Green de neechilibru pentru sisteme deschise	25
2.4.3	Implementari numerice si rezultate	30
3	Nanotuburile de siliciu	35
3.1	Contextul experimental si teoretic	35
3.2	Detalii computationale	38
3.3	Prorietati electronice	41
3.4	Densitatea de stari vibrationale	42
3.5	Substitutii isotopice	44
3.6	Concluzii	46
4	Molecule cu tranzitie de spin - spin crossover molecules	47
4.1	Introducere	47
4.2	Studiu pre-adsorptie - molecula izolata si distorsiile ei	48
4.3	Adsorptia pe suprafata Cu(100)	57
4.4	Adsorptia pe suprafata CuN/Cu(100)	64
4.5	Concluzii	70
5	Studiul DFT si DFT-D al complexului bisphthalocianina de lutetiu	73
5.1	Introducere	73
5.2	Detalii computationale	74
5.3	Rezultate si discutii	76
5.3.1	Geometria optimizata	76
5.3.2	Analiza vibrationala a complexului LuPc ₂	77
5.3.3	Orbitali moleculari si tranzitii electronice	91
5.3.4	Densitatea de stari	95

5.3.5 Imagini STM	97
5.4 Concluzii	97
Concluzii Finale	99
References	101
Anexe	108
A Adsorptia pe suprafata CuN/Cu(100) - configuratii posibile	109
B Publicatii	111

Keywords: Density Functional Theory (DFT), Spin Crossover, Silicon Nanotubes, Scanning Tunneling Microscopy (STM), adsorption, vibrational properties, quantum transport.

Capitolul 1

Introducere

Descoperirea microscopului de tunelare (STM) in anii 1980 a permis importante observatii in domeniul molecular[1]. Noi domenii, precum electronica moleculara, au aparut si s-au dezvoltat datorita intrebarilor fundamentale pe care le-au ridicat si care au primit raspunsurile remarcabile abia de curand. Marea diferenta dintre transportul cuantic prin molecule sau sisteme cu dimensionalitate redusa in comparatie cu metalele sau semiconductoare apar datorita faptului ca suprafata Fermi se reduce la un numar mic de nivele energetice (cel mai inalt nivel molecular ocupat (HOMO), si cel mai scazut nivel molecular (LUMO))[2]. In plus, largirea si pozitia acestor nivele in raport cu nivelul Fermi al contactelor, determina in mare masura proprietatile de transport.

Aspectul cel mai important privitor la fenomenele de transport prin molecule organice, este potentiala lor utilizare in dispozitive spintronice, care ar permite imbinarea functiilor de memorie si procesare in acelasi cip. Motivul principal este oferit de faptul ca interactiunile spin-orbita si hiperfina slab din materialele organice pastreaza coerența de spin pe distante si durete mult mai mari decat in cazul metalelor si semiconductoarelor conventionale, facand din aceste molecule candidati ideali pentru dispozitive spintronice[3].

In aceasta teza sunt *sondate* o parte din cele mai importante elemente pentru *fabricarea* dispozitivelor moleculare: proprietatile materialelor folosite pentru interconexiuni - care in mod ideal ar putea fi nanotuburile, influenta cuplajului asupra proprietatilor de switch/comutare, si influenta subtila a interactiunilor de tip van der Waals asupra structurii si proprietatilor moleculare.

In primul capitol, sunt prezentate metodele teoretice pentru aceste investigatii, mai precis, teoria functionalei de densitate (DFT) si sunt introduse functiile Green de neechilibru (NEGF). La finalul acestui capitol, sunt comparate doua implementari bazate pe aceste metode, pe un sistem test - anilina dehidrogenata interconectata la doua contacte cu suprafete cupru (110).

In capitolul doi, sunt discutate proprietatile electronice si vibrationale ale nanotuburilor de siliciu, pornind de la densitatile de stari corespunzatoare. De asemenea, este studiata si influenta substitutiilor izotopice asupra proprietatilor vibrationale.

In capitolul trei, este prezentat un studiu asupra moleculei prototip cu tranzitie de spin (mai exact accentul cade pe structura electronica si pe distorsiunile geometrice - pentru un studiu pre-adsorptie), precum si adsorptia pe diferite substrate. In cele ce urmeaza, sunt discutate proprietatile electronice ale moleculelor adsorbite.

Rolul functionalelor cu corectie dispersiva asupra structurii si proprietatilor vibratoriale ale bi-phthalocianinei pe baza de lutetiu sunt discutate in capitolul patru.

In final sunt expuse principalele concluzii.

Capitolul 2

Nanotuburile de siliciu

2.1 Contextul experimental si teoretic

Probabil cel mai reprezentativ sistem dintre toate nanostructuri este nanotubul de carbon. Desi doar de curand redescoperit de Iijima[4], a atras (si inca atrage) atentia datorita proprietatilor fizice si chimice deosebite. Din pacate, integrarea pornind de la nivel nano spre dispozitive reale este foarte dificila. In acest capitol, prezentam o *specimen* apropiat de nanotuburile de carbon, care s-ar putea integra mult mai usor prin tehnologia deja existenta in dispozitive reale - nanotuburile pe baza de siliciu (sau pe scurt SiNT)[5].

Desi nanofirele de siliciu sunt mult mai usor de produs (iar proprietatile lor sunt cunoscute in profunzime inca din anii 60[6]), studiile privind SiNT sunt putine. S-au propus diferite modele pentru structura acestor nanotuburi (o trecere in revista poate fi consultata la nota bibliografica [7]). Recent, Bai[8] a propus structuri geometrice patrate, pentagonale si hexagonale pentru nanotuburile mono-strat (single-walled nanotubes) (Fig. 2.1). Aceste structuri pastreaza coordinare tetravalenta a siliciului, dar sub unghiuri diferite in comparatie cu cele intalnite in cazul structurii tetraedrale a siliciului. Pe baza calculelor ab initio, Bai sugereaza faptul ca aceste structuri au o diferenta de energie nula.

2.2 Detalii computationale

Pentru calculele DFT folosim pachetul SIESTA [9, 10]. Pentru descrierea structurii electronice a electronilor $3s$, folosim un set de baza double- ζ polarized, in timp ce pentru electronii $3p$ folosim un set de baza triple- ζ polarized. Translatia energetica (**EnergyShift**) pentru generarea setului de baza a fost 150meV. S-au folosit pseudopotentiale Troullier-Martins (*Troullier-Martins norm conserving pseudopotentials*)[11] si functionala de schimb-corelatie PBE[12]. In scopul de a reprezenta cantitatile de retea legate de am folosit o retea de energie de 250 Ry . Noi relaxatgeometria preliminara asistemului (de exemplu, pozitii atomice si lungime de celule) prin metoda de gradient conjugat. Pantele finale ale

Model	d_0 [Å]	a_0 [Å]	N
5SiNT	2.43	2.44 (2.39)	19
6SiNT	2.42	2.44 (2.40)	23

Tabela 2.1: Geometric parameters of the SiNTs investigated in this work: d_0 denotes the interatomic distance for the atoms located in the same plane of the nanotube; a_0 represents the interplanar distance, while N is the number of layers used to build the supercells (see also Fig. 2.1). The values in parentheses indicate the results of Bai *et al.* [8].

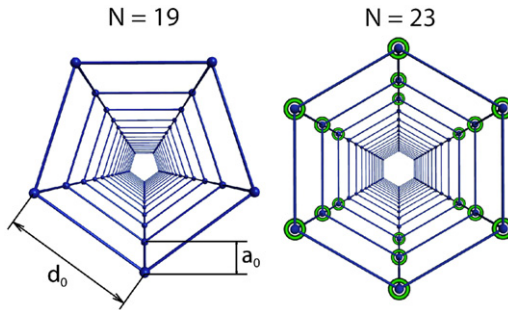


Figura 2.1: A 3D perspective representation of the geometric structures for 5SiNT and 6SiNT. We indicate the relevant geometric parameters. As an intuitive example, for 6SiNT we indicate by green circles the isotopic substitutions for three layers of the nanotube.

sistemului au fost mai putin de 10^{-3} eV/Å, In timp ce componentelete de stres au fost mai putin de 5×10^{-6} eV/Å³. Analiza vibrationala a fost realizata prin utilizarea tehnicii frozen-phonon implementate in SIESTA.

Am construit pornind de structurile geometrice pentru pentagonal (5SiNT) si hexagonal (6SiNT) siliciu nanotuburi cu un singur perete pornind de la rezultatele de Bai *et al.* [8] si folosind abordarea periodic supercell pentru studiul nostru . Geometria supercell a fost considerata a fi tetragonala , cu dimensiune $L \times L \times L_z$, unde \hat{z} directie este definita ca directia axiala a nanotuburilor cu $L = 25\text{\AA}$; L_z este de 46,4 Å (5SiNT) si 56,2 Å (6SiNT) . Aceste valori sunt obtinute dupa o relaxare deplin de pozitiile atomice si de lungimea celulei . Tehnica congelate - fonon necesita dimensiuni atent alese de super-celula utilizate In calcul . Supercell prea scurt poate duce la rezultate gresite , cu precizie , benzile vibrationale rezultate au frecvente negative. Prin cresterea graduala a supercell In \hat{z} directia am constatat ca , pentru 5SiNT , un numar de 19 straturi produce rezultate convergente fara benzi fononica negative. In cazul 6SiNT , suntem rezultate convergente pentru un numar de 23 de straturi .

Calitatea pseudopotentials utilizate In calculele noastre a fost verificata prin comparaarea rezultatelor obtinute pentru sistemele de modele (Si₂₅H₁₀ si Si₃₀H₁₂) cu calcul

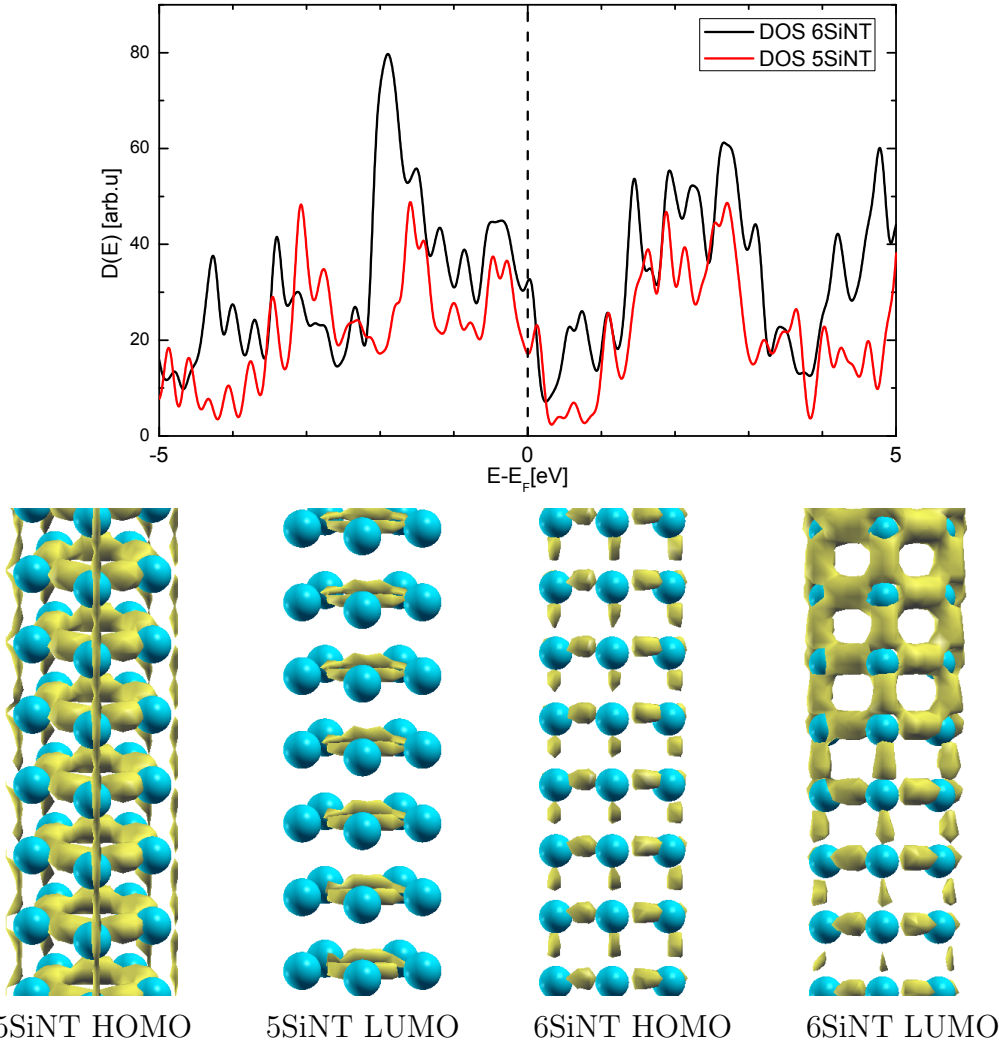


Figura 2.2: The electronic densities of states of the two types of SiNTs considered (top) and the LDOS of the frontier orbitals for the two species. Both species, show a non-zero density of states near the Fermi energy, followed by energy gaps. The widest gap occurs in the case of the 5 fold SiNT.

toate - electroni efectuate cu Gaussian [13]. Acelasi GGA functional (PBE) a fost utilizata pentru toate - electroni si pseudopotential calcule ; un 6 - 31G (d) set baza a fost folosit pentru calcule all- electroni . Geometria general si cel mai important densitatea vibrationala de state dau rezultate similar .

2.3 Proprietati electronice

Proprietatile de transport de Incarcare sunt In mare parte influentate de densitatea electronica de stari In apropierea nivelului Fermi . Pentru a obtine o imagine de ansamblu asupra proprietatilor electrice intrinseci ale SiNTs densitatea de stari pentru ambele specii si densitatea localizate de state (LDO) pentru orbitalii de frontiera sunt prezentate In aceasta sectiune .

Densitatii electronice de stari (prezentata in Fig. 2.2) nu este gol la nivelul Fermi , care sugereaza o buna conductivitate electrica ambelor specii sint . Cu toate acestea , energia Fermi deasupraunei regiuni depresiune larga are loc In cazul 5SiNT , In timp ce In cazul acestei 6SiNT depresia este mai Ingust . Prezenta zonei de depresie este sustinuta de LDO .

LDO pentru cea mai mare ocupat molecular orbital (homo) a speciei 5SiNT consta In concentratie de sarcina dintre atomii din aceeasi sectiune transversala a tubului , si poduri mici Intre atomii similare din diferite inele pentagonale . Statele LUMO sunt concentrate In inele mici , de asemenea, Intre atomii din acelasi inel pentagonal , dar fara nici o legatura Intre inelele .

In cazul 6SiNT ,HOMO prezinta o distributie uniforma gratuit, Impreuna legaturile Si-Si , In timp ce In cazul LUMO aceasta distributie este localizat numai pe jumata din lungimea tuburilor .

Ca o concluzie , punti Intre inele pentagonale si hexagonale exista In ambele cazuri , In special In cazul homo , care sustine densitatea diferita de zero la energia Fermi . Dar aceste poduri sunt prezente doar In cazul LUMO a 6SiNT , ceea ce explica de energie mic necesar pentru a permite de conducere , sau cu alte cuvinte , diferența de energie mic .

De asemenea, o localizare puternica poate fi vazuta doar In cazul 5SiNT , camai energia este distribuita pe inele pentagonale , si nu Intre ele . In cazul 6SiNT , taxele nu localizare puternic este vazut .

2.4 Densitatea de stari vibrationala

Structura banda fononilor se dovedeste a fi un instrument foarte eficient pentru studiul de stabilitate a structurilor periodice . Daca toate modurile de vibratie ale unui cristal sunt asociate cu o valoare proprie a matricei pozitiv dinamice , toate deplasările colective ale atomilor , sau schimbarea de celule elementare , creste energia de cristal este stabil fata de toate posibilele schimbari colective infinitezimale de structura sa . O bariera de energie separa aceasta faza de la alte faze posibile energetic favorizate . Structura completa banda fonon ofera o caracterizare unica si completa a(meta) stabilitatea unei faze .

Curbele de dispersie fonon obtinute pentru 5SiNT si 6SiNT sunt date In panourile potrivite din fig . 2.3, in timp ce VbDOS corespunzatoare sunt prezentate In panouri ramase. Am act de faptul ca nu exista frecvente negative sunt prezente In structura de banda fononica . Aceasta este o indicatie clara pentru stabilitatea ambelor structuri . Principalele caracteristici ale VbDOS de 5 - si 6SiNTs sunt In acord calitativ cu VbDOS pentru nanofibre de Si raportate de Peelaers *et al.* [14]. In special , doua maxime locale din VbDOS se gasesc la 90 cm^{-1} (moduri acustice) si 344 cm^{-1} (moduri optice) pentru 5SiNT , si la 83 cm^{-1} si 312 cm^{-1} pentru 6SiNT , respectiv .

Apoi, vom proiecta vectorii proprii de vibratie pe z axa (adica paralel cu nanotuburi

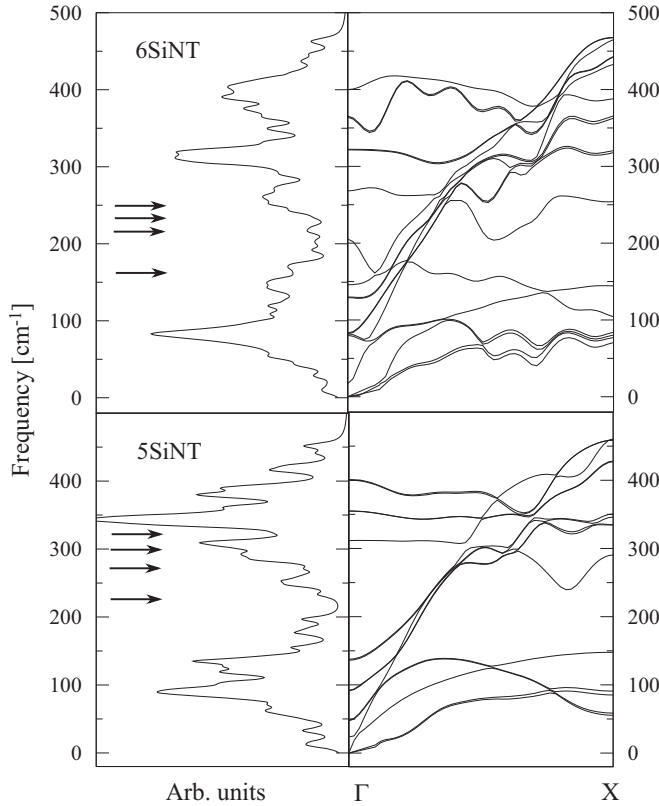


Figura 2.3: Phononic band structure and the vibrational density of states for the 5SiNT and 6SiNT. Breathing modes are indicated by arrows.

) . De VbDOS de rezultate *zproiectat* – vectorii proprii este apoi construit . Rezultatele analizei noastre sunt prezentate In Fig . 2.4. Observam ca moduri transversale sunt dominante In regiunea $0\text{-}70\text{ cm}^{-1}$, In timp ce cele longitudinale sunt dominante la frecvențe mari (de exemplu, peste 425 cm^{-1}) . Doua maxime locale din VbDOS mentionate mai sus sunt dominate de moduri transversale . In cazul 5SiNT notam prezenta unui decalaj In VbDOS transversale , Intre 190 si 210 cm^{-1} , nici un astfel de decalaj este prezent pentru 6SiNT .

2.5 Substitutia izotopica

In final , am investigatefectul de substitutie izotopica asupra VbDOS ale SiNTs studiate . Consideram ca straturile lui Sint sunt formate fie de $^{28}\text{atomide Si}$ (de exemplu, izotopul cel mai abundant de siliciu [15]) , fie prin $^{30}\text{atomide Si}$ (a se vedea , de asemenea, Fig . 2.1 pentru o reprezentare intuitiva) . Am ales 30 izotopul Si pentru ca are cea mai mare masa Intre izotopii stabili de siliciu si aproximativ 3% abundenta naturala [15]. In cazul de ^{29}Si doping ne tendinte similare , dar mai putin pronuntate .

In prezenta substitutii izotopice , ambele sisteme prezinta o epuizare a vărfurilor VbDOS In regiunea $300\text{-}400\text{ cm}^{-1}$. Marimea acestor modificari depinde de numarul

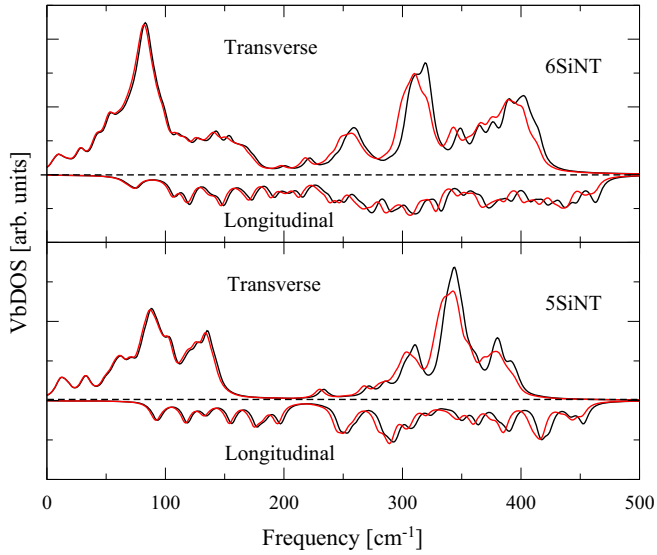


Figura 2.4: Comparison between the total, transverse and longitudinal VbDOS for 5SiNT (bottom) and 6SiNT (top). The effect of the isotopic substitution upon the total and longitudinal VbDOS is also presented: black curves - results for nanotubes including only ^{28}Si ; red curves - results for nanotubes isotopically doped with ^{30}Si (see text for details).

de straturi substituit izotopic . Mai exact, o schimbare cu mai putin de 38 % si 47 % din numarul total de atomi de 5SiNT si 6SiNT , respectiv , fara modificari importante sunt vizibile; daca totusi , ratia de substitutie este mai mult decăt valorile de mai sus , o reducere cu loc de 20 % din amplitudinea mai mare munte (vezi Fig . 2.4) . Aceste rezultate sunt in concordanta cu previziunile din hamiltonianul vibrationala a unui model de grilaj diatomic .

2.6 Concluzii

Am studiat spectrul fotonilor pentru doua tipuri de nanotuburi de siliciu singur perete , prin efectuarea de calcule ab initio (DFT) . Rezultatele noastre arata ca cele doua structuri sunt stabile (de exemplu, nu frecvente imaginare sunt prezente Inspectrele fotonilor) . Ne arata ca densitatea vibrationala de stari de 5 - si 6SiNT afisa caracteristici similare cu cele ale mai complexe nanofibre de siliciu [14]. Am investigat , de asemenea, efectul de substitutii izotopice controlate de densitatea de stari vibrationale . Am constatat ca , pentru ambele tipuri de nanotuburi , o epuizare relativ importanta a VbDOS loc de frecvente cuprins Intre 300 si 400 cm^{-1} . Am aratat camodelul simplu de Hamiltonian vibrationala pentru diatomic zabile 1D poate fi folosit pentru a explica acest comportament . Prin urmare , concluzia noastra este ca modificarile de VbDOS sunt cele mai importante atunci cănd numarul de straturi substituit izotopic este aproape de numarul

de 28 straturi de Si .

Capitolul 3

Molecule cu tranzitie de spin - spin crossover molecules

3.1 Studiu de pre-absortie - molecula izolata si distorsia ei

Comportamentul compusilor de spin de crossover este printre cele mai izbitoare si fascinante demonstrat de specii molecularare relativ simple [16]. compusi coordonare a ioni metalici de tranzitie poate , In anumite conditii , prezinta un fenomen de comutare , In cazul In care ionul de metal centrala schimba spinul de stat , la o schimbare a temperaturii , aplicarea de presiune , iradiere cu lumina , sau Intr-un cĂmp magnetic . Acest fenomen este cunoscut sub numele de tranzitie de spin (ST) sau crossover de centrifugare (SCO) . Modificarea starii de spin este Insotita de o schimbare a structurii electronice aionului central simolecula complexa In ansamblu , care modifica semnificativ proprietatile fizice si chimice ale substantei .

Complexe octaedrice ale d^{4-7} ioni poate fi fie ridicat de spin (SA) sau spin mic (LS) , In functie de intensitatea cĂmpului ligandului Δ (cĂmp electrostatic care actioneaza laionul metalic central) este mai slab sau mai puternic , respectiv , decăt de spin de asociere energie [17]. In domenii slabe (vezi Fig . 3.1) starea fundamentala este HS In cazul In care multiplicitatea de spin este un maxim , la d electronii fiind distribuite peste T_{2G} si e_g seturi Intrucăt cĂmpurile puternice stabiliza statul LS cu multiplicitate minim , T_{2g} setul de a fi ocupat complet Inainte de electronii sunt adaugate la e_g set [16]

Experimente recente [18, 19] au aratat ca cuplarea puternic la un substrat metalic inhiba capacitatea de comutare intre cele doua state magnetice, in timp ce cuplare slab mentine moleculea bistabil, desi temperatura nu poate fi nici mai mult folosit pentru a induce tranzitia de spin . Aici vom lua In considerare unul dintre prototipului SCO , Fe (1,10 - fenantrolin)₂ (NCS)₂ [sau cis - bis (tiocianato) bis (1,10 - fenantrolin) - de fier (II)] de acum pe Fe - fen (vezi Fig . 3.2) , si de a explora relatia dintre geometria

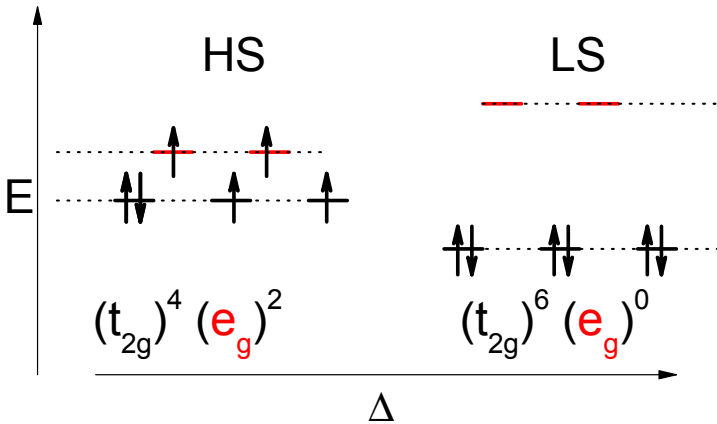


Figura 3.1: Electronic configuration for a d^6 iron(II) ion, in the HS state and in the LS state.

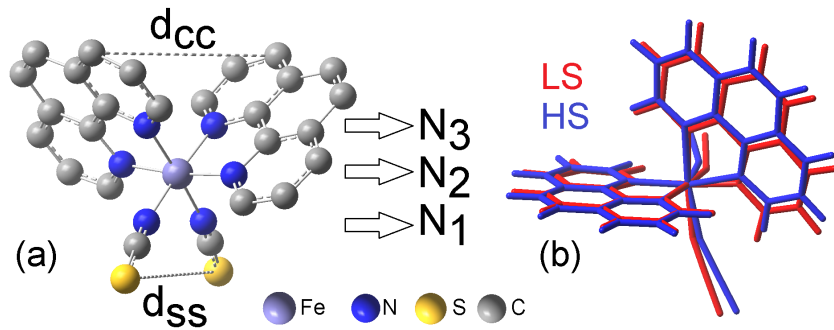


Figura 3.2: The optimized geometry of Fe-phen in LS state (a) and the structural difference between HS and LS (b). (For clarity, in panel (a) the H atoms are not drawn). The S-S distance, d_{SS} , and the C-C distance, d_{CC} are also indicated. Note that in the HS state there is an elongation and a distortion of the first coordination shell. In the molecule we have three inequivalent pairs of N atoms, namely the ones residing on the SCN arms (N_1), those forming the horizontal Fe-N bond (N_2) and those heading upwards (N_3).

moleculei si eventualele distorsiuni care rezulta din interaciunea cu un substrat. Pentru a imita interactiunea cu o suprafata am studiat proprietatile electronice si structurale ale unei astfel de molecule variind distanta dintre cei doi atomi de S, d_{SS} , care sunt utilizate pentru a se leaga la substrat . Adsorbția pe baza de sulf este sugerat de datele experimentale . [18]

Geometria celor doua state de spin de Fe - fen -au relaxat , folosind atât SIESTA [10] si GAUSSIAN 09 cod [13]. SIESTA cod implementeaza - conservare norme pseudopotentials Trouillier - Martins . Pentru SIESTA calculele un dublu - ζ polarizat set de baza si PBE schimb - corelare functionale [12] au fost angajate , cu molecula plasat Intr-o cutie cub de 70 Å In parte . Calculele efectuate cu GAUSSIAN 09 utilizataTZVP [21] seturi de baza cu B3LYP [?] schimb - corelare functională . Toate calculele au fost efectuate fara a impune nici o simetrie .

Configuratii distorsionate , care simuleaza interacciunea cu un substrat , au fost obtinute prin cresterea unghiului S - Fe - S , modificarea asemenea unghiul dintre brate Intregi tiocianat (SCN) arme . Acest lucru produce un alt d_{ss} . Apoi moleculele au fost lasate sa se relaxeze In afara de atomii de S , care au fost mentinute fixate In pozitiile lor initiale . Relaxare a fost facut cu gradient conjugat pĂˇna cĂˇnd fortele au fost mai mici decĂˇt 0,05 eV/Å.

Geometria moleculei nedenaturate In faza de gaz sunt In buna concordanta cu cele experimentale [22] si alte rezultate teoretice din literatura de specialitate [23, 24].

Rezultatele noastre arata ca hibridul B3LYP functional tinde sa se stabilizeze configuratia SA ca starea fundamentala , In timp ce functionale locale si semi- locale , ca PBE , favorizeaza cel LS (aceasta tendinta a fost observata si In alte lucrari teoretice , cum ar fi Ref [25], [23] si [26]). Acest din urma rezultat este In acord cu dovezi experimentale . Aceasta cu toate acestea , nu ar trebui sa fie luata ca o dovada a bunatatii lui functionale locale si semi- locale, pentru aceasta problema , deoarece pentru o adevarata estimare a stabilitatii relative a celor doua faze magnetice ar trebui sa fie luate interacciune intermoleculara In considerare [26].

Structura electronica a moleculei distorsionate, mai precis denstatea de stari partiala (PDOS) si densitatea totala de stari (TDOS), calculat cu functionala PBE inclusa in programul SIESTA, sunt prezentate In fig. 3.3[27]. In general, tranzitia SCO este responsabila pentru o redistribuire de ocupare a Fe 3 d carcasa (Fe^{2+} cu d^6 de configurare). In cazul LS niveluri t_{2g} sunt toate ocupate de doua ori, in timp ce e_g ramăne neocupat (Fig. 3.3 (b2)), ceea ce duce la un spin $S = 0$. Prin contrast, in configuratia HS (Fig. 3.3 (b1)) doi electroni sunt eliminati din t_{2g} niveluri si plasate , cu rotire opusa $\text{In } e_g$. Astfel, unul ramane cu un e_g coaja de spin - polarizat complet si cu patru electroni din t_{2g} pentru un spin total de $S = 2$. Acest lucru este perfect In concordanta atat cu dovezi experimentale si multe lucrari teoretice publicate [28, ?]

Rezultatele noastre In ceea ce priveste reorganizarea geometrica a moleculei ca urmare a $D_{denaturareSSpebazade}$, spectacolul (1) variatii neglijabile In deschiderea lobilor fenantrolina (PLS), care nu accepta o denaturare foarfece - cum ar fi (de exemplu, crestere / scadere a (SCN) deschiderea thiocianato a induce o crestere / scadere a deschiderii prospecte , si vice- versa) pentru molecule In faza gazoasa si (2) cea mai buna descriere a geometriei este obtinut pe baza pls dinamica si nu se bazeaza pe Contributiile Fe la deschidere prospecte .

Variatiile geometrie si energetice ale Fe -phen cu privire la D_{SS} parametru , Impreuna cu numarul mic de atomi implicate In denaturarea sulf - sulf , ne permit de a propune mecanismul de absorbtie pe baza de sulf , ca mecanism principal de absorbtie pentru moleculea Fe - fen pe substraturi metalice . Pe de alta parte , absorbtia PL bazat ar implica modificari structurale (mai mari abateri de la geometria plana a inelelor multi- benzen), Insotite cu variatii mai mari de energie .

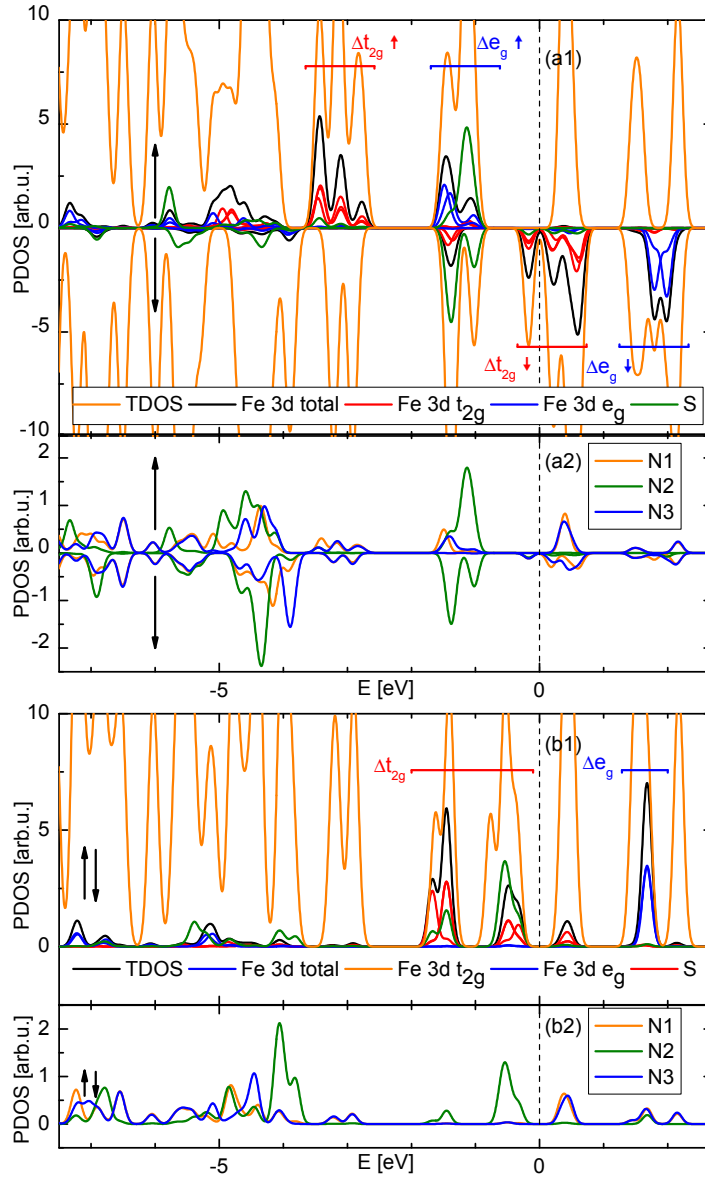


Figura 3.3: PDOS and TDOS for the HS (upper panel) and LS (lower panel) states of Fe-phen, computed using the PBE functional. For each panel the lower graph is a zoom over the N PDOS. The dotted line is the energy at the neutrality point, taken at 0 eV.

3.2 Adsorptia pe suprafata Cu(100)

Pe baza rezultatelor dincapitolul precedent am studiat adsorptia moleculei Fe - fen pe Cu (100) de suprafata ; numai geometrii cu atomul de S In pozitii de Cu tubulare au fost luate In considerare . PLS adsorbtie pe baza , sa constatat a nu fi favorizat energetic la nivelul PBE de teorie . Geometriile finale si relatia acestora cu simetria(100) Cu suprafata sunt prezentate in Fig. 3.4.

Din punct de vedere energetic o pozitie de varf se dovedeste a fi cel mai stabil . Densitatea de stari pentru moleculea adsorbit In aceasta configuratie este prezentata in Fig. 3.5. Cum era de asteptat , In cazul adsorbtie , cele mai importante schimbari In

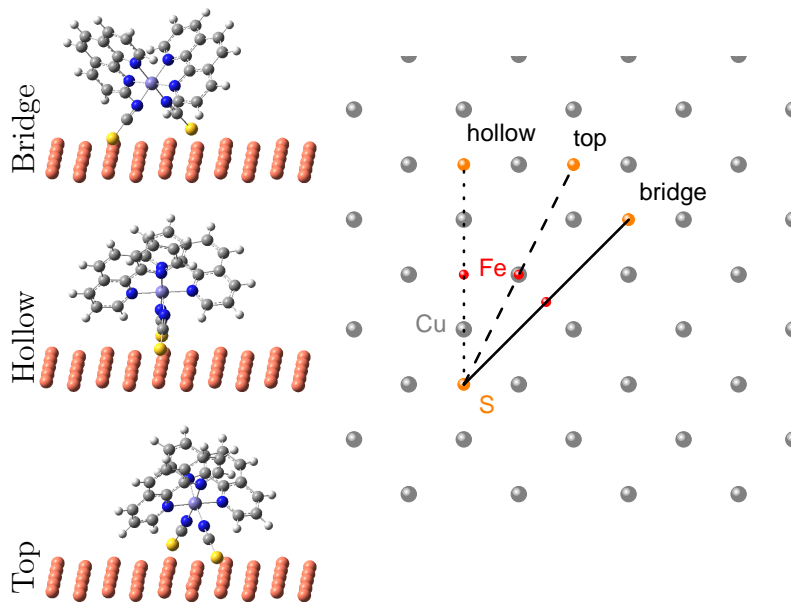


Figura 3.4: The schematic representation of the adsorption geometries studied for the Cu (100) substrate. Due to the symmetry of the metallic substrate and due to the preference of the S to adsorb on hollow position, the number of possible configurations is reduced to three representative configurations.

DOP sunt extinderea a varfurilor .

Cele calculate imaginile STM , sunt In buna concordanță cu rezultatele experimentale [18] , care arată deschideri largi ale PLS , In cazul de stat HS In raport cu starea LS .

3.3 Adsorptia pe suprafata CUN/Cu(100)

Având în vedere o adsorbție S-based și bazată pe simetria (100) suprafata CUN / Cu (vezi Fig. 3.7) , un număr de 26 de configurații posibile sunt studiate de stat LS . Configurațiile cele mai stabile sunt prezentate în Fig. 3.8.

DOP atât LS de stat (Config.no.26 și Config.no.1) sunt prezentate în Fig. 3.9. Compararea DOP pentru aceste două specii , se poate remarcă faptul că decalajul dintre principalele două zone de la Δt_{2g} este mai mic în cazul Config.no.1 . De asemenea , decalajul dintre energia mai mare sunt de la Δt_{2g} și urmatoarea domeniu neocupat este constantă în pentru cele două specii . În cazul Config.no.1 Înaltimea varfurilor de orbitalilor Fe sunt ușor mai mici în comparație cu cele ale Config.no.26 , singura excepție fiind sub-domeniul energetic mai mare din Δt_{2g} domeniul. În cazul Config.no.26 , avem , de asemenea, o contaminare mai pronunțată de la e_g în domeniul Δt_{2g} , în comparație cu Config.no.1 . în Δe_g , în cazul Config.no.1 există contaminare mai mică Δt_{2g} orbitali , în comparație cu cazul Config.no.26 . Aceste contaminări se datorează cuplajului cu substratul .

Excluzând 3d amestecarea datorită cuplării la substrat ,Fe DOP este cel mai apropiat

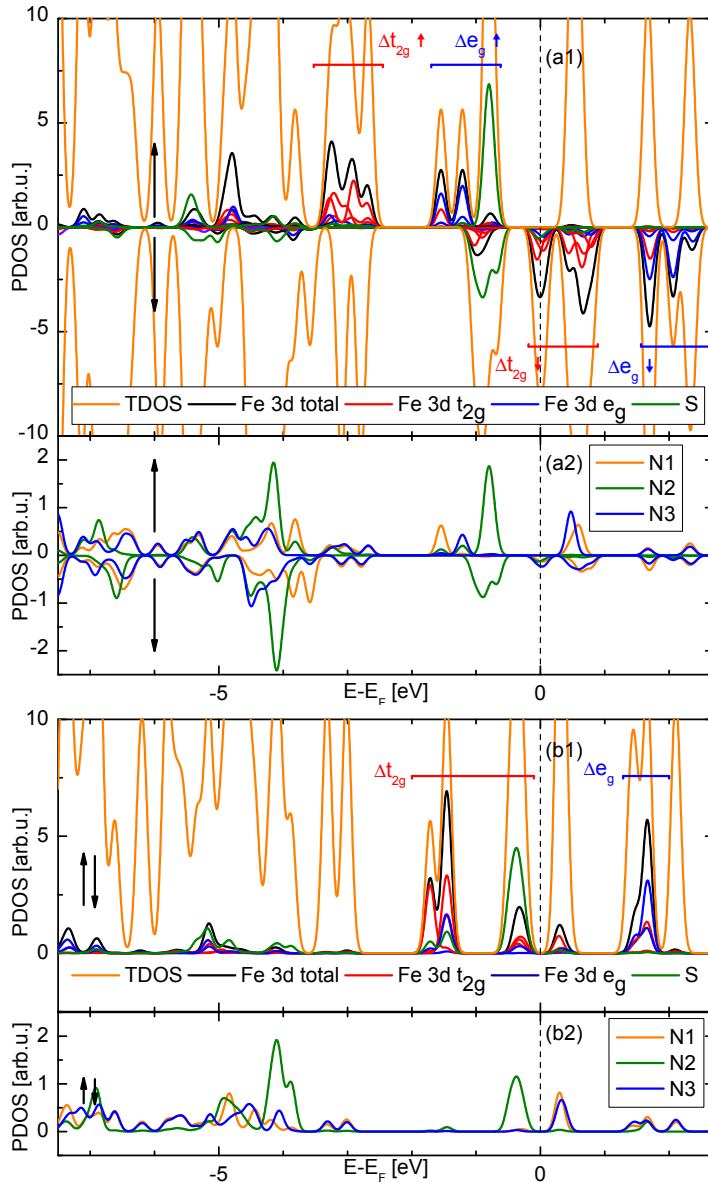


Figura 3.5: PDOS and TDOS for the HS (upper panel) and LS (lower panel) states of Fe-phen adsorbed on the Cu (100) surface in top position. For each panel the lower graph is a zoom over the N PDOS.

de DOP molecularare , In cazulConfig.no.26 . Singura diferenta notabila este la largirea mica a constatat , In cazul sistemului adsorbit .

Cele experimentale imaginile STM arata doi lobi fie conectate prin un element central (In cazulSA) AR cu foarte redusa sau nu caracteristici (In cazul LS) . Imaginile noastre simulate STM (a se vedea fig . 3.10) , sunt similare cu caracteristicile mentionate mai sus , cea mai mare similaritate provenind dinHOMO si orbitalii lumos . Unele imagini din datele experimentale (de la [18]) arata, de asemenea neconcordante mici perpendicular pe axa care leaga cei doi lobi . Acest lucru este mai proeminent In cazul HS . Aceleasi tipuri de nealiniere sunt prezente , de asemenea, In imaginile noastre calculate STM .

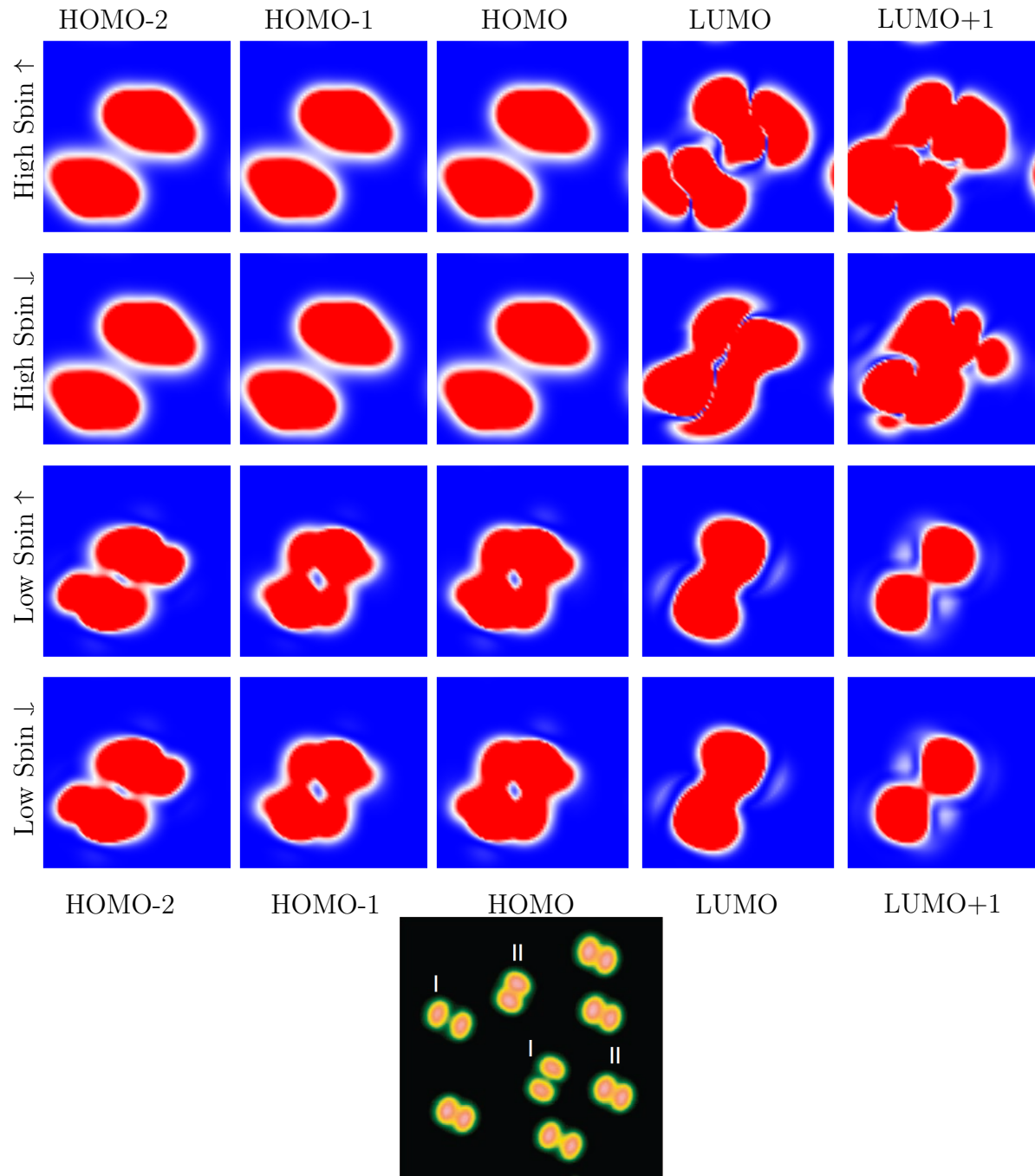


Figura 3.6: Simulated STM images for the adsorbed Fe-phen molecules on top configuration. The bottom image is an experimental STM image[18] of the isolated Fe-phen molecules on the Cu(100) surface with two conformations denoted as I (HS) and II (LS).

3.4 Concluzii

Din punct de vedere al structurii electronice, atomii N₂ au o influenta puternica asupra stabilitatea si tranzitia Intre stari de spin , deoarece acestea genereaza un camp simetric la ionul Fe . Campurile generate de N₁ si N₃ atomide lipseste aceasta simetrie , astfel contributiile lor la DOP se afla fie la energii foarte mici , fie pentru statele molecularare neocupate .

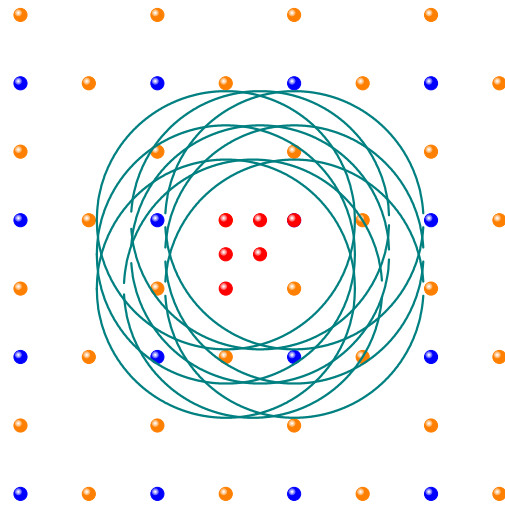


Figura 3.7: The schematic representation of the adsorption geometries studied for the CuN (100) substrate (left). Only systems consisting of S atoms adsorbed on hollow position, or with various N and Cu neighbours were considered (i.e. systems for which the S atoms are on the green circles and are at the same distance from the substrate). In total, a number of 26 possible configurations have been studied. The position of the Fe atoms is represented by the red dots.

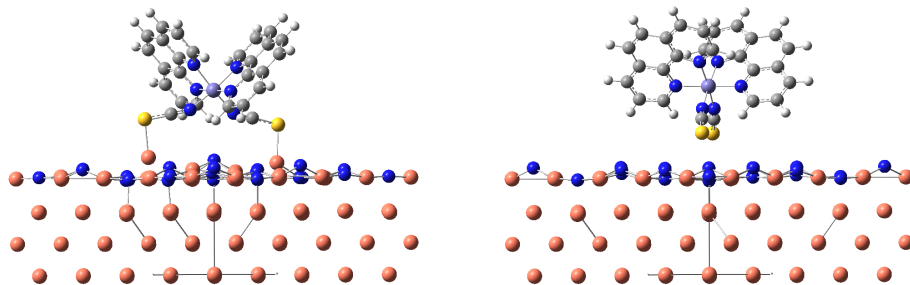


Figura 3.8: The geometries for the configurations 1 (left) and 26 (right).

Structura de Fe - fen este dovedit a avea o mare flexibilitate , In sensul cavaratiilor unghiului de deschidere a bratelor SCN , (1) creste usor energia sistemului distorsionat , pentru o gama larga de d_{ss} , (2), nu influenteaza dinamica pls .

Adsorbția pe Cu (100) de suprafață a fost studiată utilizând cadrul standardului DFT , și oferă următoarele perspective : (1) adsorbția moleculelor Fe - phen este mai energetic favorizată prin atomi de S , In loc să prospere , (2) adsorbția moleculei Fe - fen nu este dependentă de spin , In sensul că nu există nici configurații favorabile doar o anumita stare de spin , (3) adsorbția are loc în principal cu atomul de Fe în partea de sus a unei cu desubstrat , (4) diferența de energie dintre configurațiile posibile când se demonstrează nu permite trecerea de la o configurație la alta , chiar la temperatură camerei .

Perspectivele instructură Cun / Cu (100) substrat au fost efectuate , care arată că

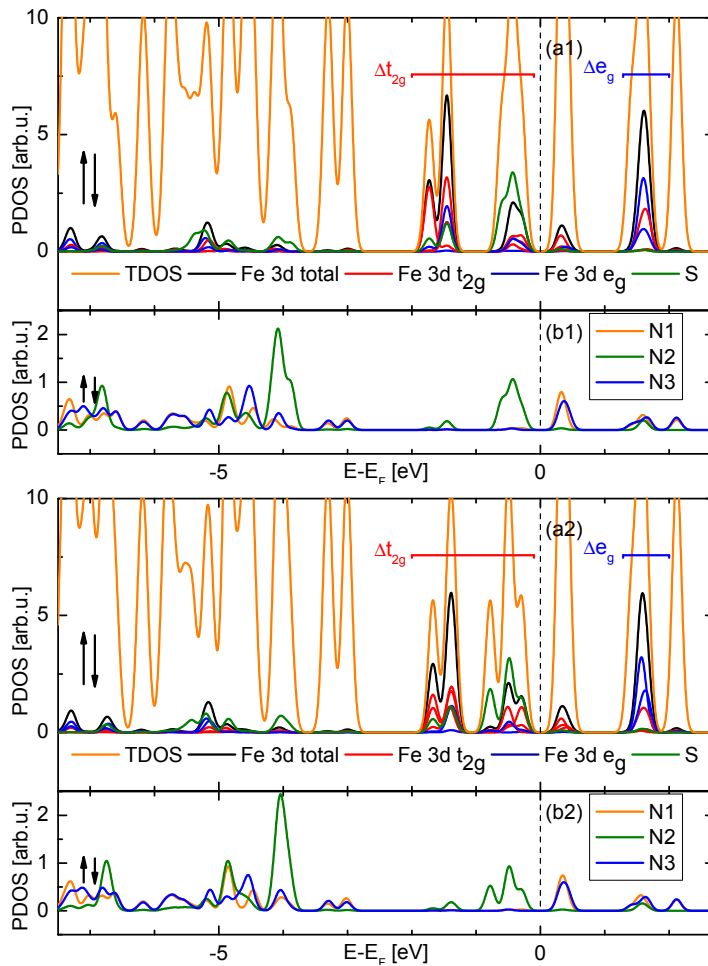


Figura 3.9: PDOS and TDOS for the LS Config.no.26 (upper panel) and Config.no.1 (lower panel) states of Fe-phen adsorbed on the CuN/Cu(100) surface in top position. For each panel the lower graph is a zoom over the N PDOS.

atomii de N au o înaltime mai mare decât slăștigă atomii de Cu. Nu se observă flambaj sau oscilație N înalți.

Adsorbția pe (100) suprafața CUN / Cu a fost studiată prin scanare atât pe verticală cât și în spațiu de configurație. Concluzia principală este că mecanismul de adsorbție S-based se bazează pe apropierea de atomi de S la atomii de Cu. Ca și în cazul adsorbției pe (100) suprafața de Cu, adsorbția nu este spin-dependente. Noi am studiat configurații mai energetic favorizate (din rezultatele furnizate de scanările de energie) și a constatat că Config.no.1 este una dintre cele mai stabile dintre ele. Proprietățile adsorbției arată că sfera de coordonare a atomului de Fe este foarte asemănătoare cu cea a moleculei izolate (în fază gazoasă). Proprietățile de adsorbție (de exemplu, imaginile STM) confirmă faptul că geometriile studiate sunt foarte apropiate de cele experimentale.

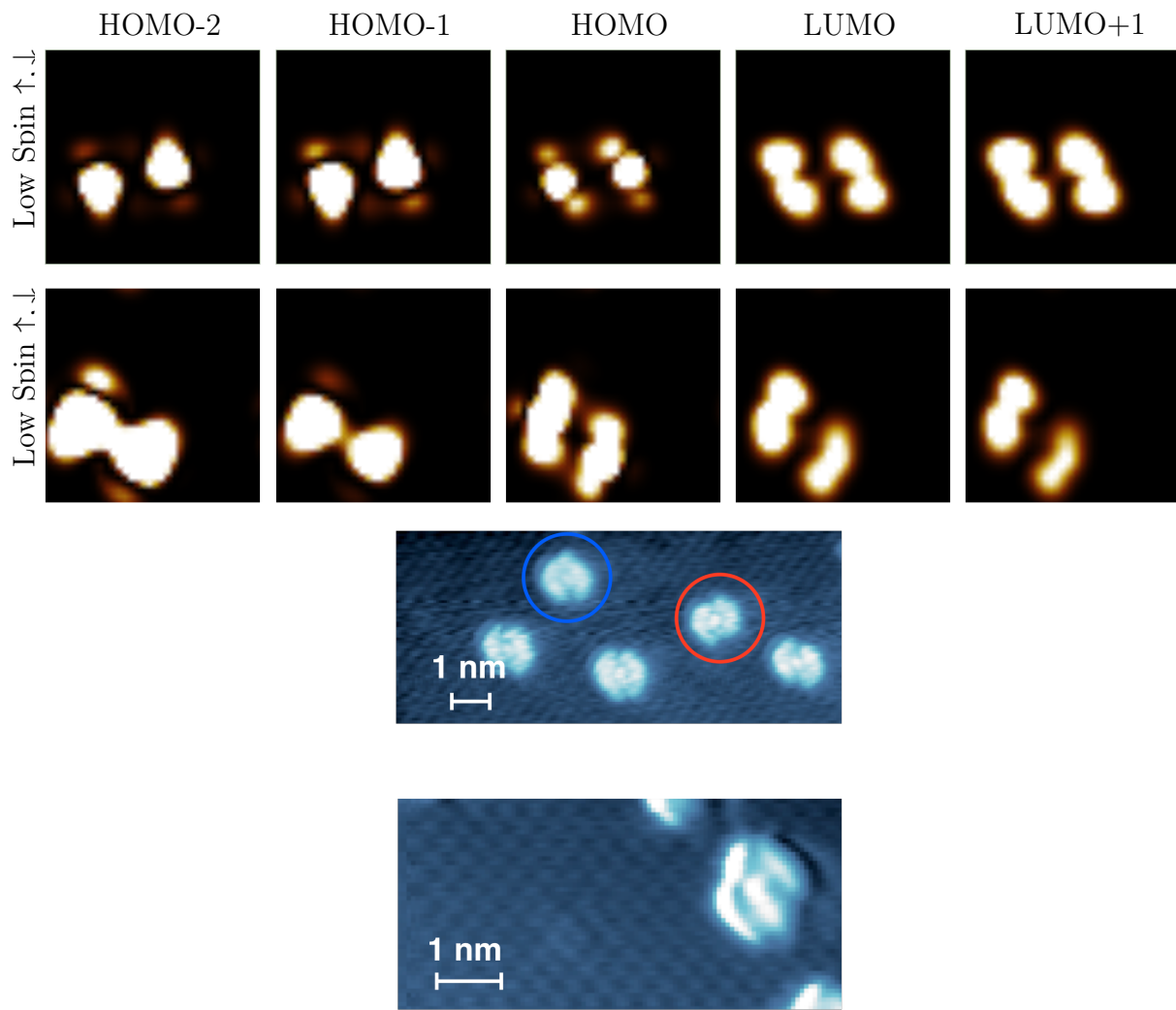


Figura 3.10: The STM images computed for the Config.no.26 (top row) and for the Config.no.1 (middle row). The bottom two images show the experimental STM image of Fe-phen single molecules adsorbed on the CuN/Cu(100) surface. The molecule encircled by red (blue) is in the HS (LS) state.

Capitolul 4

Studiul DFT si DFT-D al complexului lutetiu bisphthalocianina

4.1 Introducere

Clasa de ftalocianine (PC) Inca prezinta astazi interes stiintific foarte ridicat , datorita proprietatilor lor fizice si chimice neobisnuite si la aplicatiile lor promitatoare In domeniul stiintei si tehnologiei [30]. Cele mai importante proprietati ca acesti compusi poseda sunt asemanarile structurale cu clorofila si cu porfirine , ceea ce le face foarte adecvate pentru aplicatii in nanoelectronica , conversia artificiala a energiei solare In energie electrica [31] si pentru aplicatii spintronica .

Un loc aparte Intre Buc metalice substituita este detinut de lutetiu (III) bisphthalocyanine (LuPc₂), prezentat in Fig. 4.1. Este sinteza a fost semnalata pentru prima data In mijlocul anilor 1960 de catre Moskalev *et al.* [32] , dar numai dupa mai mult de 20 de ani, sa dovedit a fi una dintre primele semiconductori moleculare intrinseci descoperite [33] . Complexul molecular este , de asemenea, un candidat potrivit pentru aplicatii In domeniul nanoelectronicii [30, 34] .

Calculele teoretice au fost efectuate folosind GAUSSIAN 09 pachet de programe [13]. Functional folosit In scopul de a determina structura moleculara si electronice de LuPc₂ , precum si modurile normale de vibratie , a fost B3LYP hibrid In combinatie cu 6 - 31G (d) setul de baza pentru C , H , O si atomi de azot . CEP - 121g , iar SDD potentiialele efective de baza (PCU) au fost utilizate pentru a descrie efectul de electroni de baza pentru atomii lutetiu . Au fost efectuate doua tipuri de calcule , primul se bazeaza pe standardul densitatii teorie functionala (DFT) metode , In timp ce cea de a doua metoda se bazeaza pe DFT cu corectiile de dispersie folosind atom de carbon centrat potential miez efectiva (DFT - DCPs) [35]. Calculele DFT - DCP au fost efectuate cu ajutorul

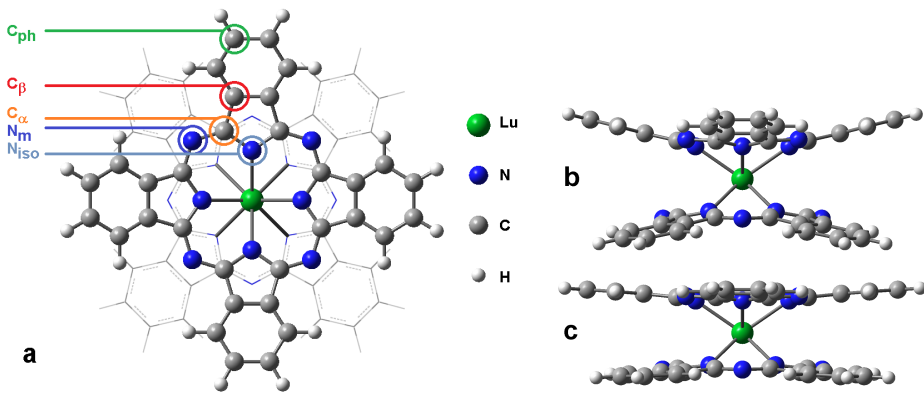


Figura 4.1: Optimized geometry of $[\text{Lu}(\text{Pc})_2]$ (D_{4d} symmetry; view along the C_4 axis (a) and side view of the B3LYP and B97-1 structures (b and c, respectively)).

	LuPc ₂ B971	LuPc ₂ SDD	LuPc ₂ B971	LuPc ₂ B3LYP	$[\text{LuPc}_2]^-$ B971	$[\text{LuPc}_2]^-$ B3LYP	$[\text{LuPc}_2]^-$ B971	$[\text{LuPc}_2]^-$ B3LYP
Lu - N _{iso}	2.396	2.413	2.414	2.432	2.410	2.431	2.427	2.451
Pc -Pc	2.706	2.730	2.746	2.778	2.736	2.771	2.775	2.826
N _{iso} -Lu-N _{iso}	111.3	71.3	110.7	71.0	110.9	71.0	110.3	71.6
γ	6.0	14.2	5.75	14.3	7.1	15.2	6.9	15.2
δ	174.0	165.8	174.25	165.7	172.9	164.8	173.1	164.8

Tabela 4.1: Optimized and experimental bond lengths and valence angles of the neutral and anionic forms of LuPc₂, obtained at the B3LYP/6-31G(d) and B97D-DCP/6-31G(d) levels of theory, with SDD and CEP-121G ECPs for the Lu atom.

B97 - 1 [36] functionala , care se bazeaza pe bine-cunoscuta functionala B97-D [37].

4.2 Geometria optimizata

In ceea ce priveste geometria optimizata a LuPc₂, trebuie remarcat faptul ca lungimile legaturilor calculate utilizand cele doua PCU sunt diferente semnificative care apar comparabile , numai In cazul distantei interplanare (distanta dintre centrele de inversiune ale inelelor ftalocianina , Pc - Pc) . De asemenea , diferente importante Intre anioni si complex neutru sunt In mare parte observate In ceea ce privesteaceeasi distanta interplanare ,valoarea pentru anionul fiind In medie 0,0445 Å mai mare decataceeasi distanta decomplex neutru . In comparatie cu valorile experimentale , legatura calculat lungimi atat pentru [LuPc₂]⁻ si LuPc₂ sunt cu 0.01 - 0.02 Å mai mare . Distantele interplanare sunt reproduse cu o mai mare precizie de pseudopotential SDD , dar supraestimarea este Inca importanta .

In ceea ce priveste diferentele dintre metodele non dispersie si corectate DFT , trebuie remarcat faptul ca metoda DFT - DCP da nastere, In general lungimi mai mari de obligatiuni . Cele doua exceptii sunt Lu-N_{iso} de obligatiuni si lungimea interplanara care sunt

mai aproape de valorile experimentale , supraestimarea fiind mai importantă în cazul In care forma anionica .

Structura optimizată conține două avioane PC-uri care sunt îndoită spre exterior In același măsură . Acest rezultat teoretic este în acord cu experimentele de difracție cu raze X [38] și susține ideea că electronul nepereche al complexului neutru este delocalizat peste întregul complex molecular .

Un alt aspect important este legat de doming de LuPc_2 molecule , exprimată în termeni de $\text{N}_{\text{iso}}\text{-Lu-N}_{\text{iso}}$ unghi . Metoda C - vase da naștere la două inele de PC-uri mai puțin îndoită spre exterior decât calculele normale SDD și CEP - 121g . Pentru compararea cu alte rezultate teoretice ,unghi δ a fost calculat ca unghiul dintre N_{iso} atomi de avion și fiecare din plane C_8N unități pyrrolic . Rezultatele bazate pe B97 - 1 functionale sunt la 2° interval , comparativ cu cei de la Ref . [39]. B3LYP oferă valori sistematic mai mici , care indică o doming mai mare .

Indoirea inelelor izoindol , cuantificată prin γ , da în cazul B3LYP functionale valori foarte apropiate de cele raportate de Bidermane *et al.*[40]. Cele B97 - 1 rezultatele atât pentru specia neutru și anionic foarte apropiate de cele experimentale care sugerează indoiri modeste ale inelelor izoindol [38]. De asemenea , Bidermane *et al.* A sugerat o intermoleculară (van der Waals) contribuția la planeitatea (ne - doming) din PC-uri . Bucătări sunt obținute doar numai dacă corectare dispersie prin CPots se adaugă la B97 - 1 rezultate .

Luând în considerare lungimea interplanară , se poate concluziona că , din punctul de vedere al Doming , geometria moleculară a prezis prin metoda C - potul este mai aproape de realitate .

4.3 Analiza vibratională a LuPc_2

In acest studiu [41] am testat utilitatea de dispersie corectatea potențialei pentru estimarea datelor de vibrație pentru LnPc_2 dublu împodobita , în special pentru complex LuPc_2 . Un astfel de studiu este util nu numai pentru atribuirea clara și fiabila a modurilor normale alemoleculei unice , dar și pentru a identifica benzile IR sau Raman care pot fi utilizate pentru explicarea orientarea moleculelor pe substraturi sau deauto- ansamblu de molecule care se formează pelicule subțiri .

Pentru a corela datele vibratională experimentale pentru LuPc_2 cu rezultatele teoretice le-am folosit datele IR raportate de Lu *et al.* [30] și date Raman obținute pe LuPc_2 filme subțiri date de Zahn și colaboratorii [42].

Inainte de a trece la atribuirea spectrelor vibratională de LuPc_2 am testat metodologia B971 - DCP pe TmPc_2 compus pentru care datele IR și Raman de Incredere au fost raportate de către Moreira și Aroca [43]. Geometria complexului , cu o C_{2V} simetrie a fost optimizat cu ajutorul B971-DCP/6-31G (d) cu PCU SDD pentru Tm atom . Am

constatat ca metodologia B971-DCP/6-31G (d) - SDD este fezabil pentru calculul IR si Raman de la TmPc₂. Astfel , am folosit aceeasi abordare pentru calculul LuPc₂ compus . In caz de LuPc₂ compus am folosit , de asemenea, B3LYP/6-31G (d) - SDD nivel de teorie pentru calculul spectrelor vibrationale . Este important sa retineti cagaometria optimizata la acest nivel de teorie arata o doming mult mai pronuntata decat In cazul metodei B971-DCP/6-31G (d) - SDD (vezi Fig. 4.1) .

Tabelul 4.2 si 4.3 rezuma cel mai important IR vibratie si benzile Raman ale LuPc₂ complex , Impreuna cu numerele de unda calculate si modurile sarcinile normale sugerate de rezultatele DFT . Dupa cum usor se poate observa In acest tabel ,B971-DCP/6-31G prezis (d) - SDD valori teoretice sunt In concordanta constant bune cu valorile experimentale . Media abaterilor dintre RR 676.4 datelor experimentale nm si valorile teoretice este de 3,3 cm⁻¹ , In timp ce deviatia standard a reziduurilor este de 9.0 cm⁻¹ atunci cand ESFF procedura de 9- parametri este folosit .

Spectru Raman de LuPc₂ praf are benzile cele mai intense de la 679 , 741 , 478 , 576 , 782 si 815 cm⁻¹ . Acest lucru este similar cu TmPc₂ cazul In care spectrul de rezonanta aratat benzi cu intensitate apreciabila In regiunea numerelor de unda joasa . In timp ce intensitatatile relative si pozitiile lor sunt bine reproduse pentru aceste benzi de la 696 , 756 , 487 , 592 , 772 , si 835 cm⁻¹ , cu toate acestea , trebuie sa retineti ca cele mai intense benzi Raman sunt prognozate la 1537 , 1324 , 1305 , 1077 si 1017 cm⁻¹ (vezi sarcinile In Tabelul 4.2 si 4.3) . Aceste previziuni ramane sa se confrunte cu noi date Raman experimentale obtinute In conditii de non- rezonante .

Atomul lutetium pare a fi implicat In principal In doua vibratii : prima are numarul de unda calculata la 242 cm⁻¹ , In perfect acord cu valoarea experimentală (242 cm⁻¹) si -l este atribuit Lu-N_{iso} Intindere vibratii . Al doilea , a observat experimental la 286 cm⁻¹ este o Indoire simetric al Lu-N_{iso} obligatiuni , cu numarul de unda calculata la 294 cm⁻¹ si omologul experimental de la 286 cm⁻¹ .

In concluzie , am demonstrat ca abordarea B971-DCP/6-31G(d) - SDD este o metoda sigura nu numai pentru a da geometrii corecte pentru compusii - lantanide bisphthalocyanine ci si pentru datele spectroscopice cum ar fi infrarosu si Raman . Spectrele IR au fost reproduse In mod corect , atat . Pe de alta parte , intensitati Raman , fiind puternic afectate delinia de excitatie laser au fost reproduse doar Intr -o maniera calitativa . Studii de pre- rezonante trebuie sa fie efectuate pentru o predictie fiabila de intensitati de banda In conditii de rezonanta , astfel de lucrari fiind In curs de desfasurare In acest moment .

4.4 Densitatea de stari

Nelimitat B3LYP DOP de complexului LuPc₂ arata o regiune formata din doua niveluri mutat electronice In jurul decalajul HOMO - LUMO , pentru fiecare polarizare de spin , distanta energetic dintre aceste niveluri este diferit pentru fiecare polarizare de spin

. Nivelurile de contributii prezente numai de la atomi de carbon . Acest mecanism de niveluri distantate mutat si asimetrice permite ocuparea parciala de un orbital , de fapt , de asemenea, a sugerat de catre primele experimentale [44] Rezultate si rezultatele recente teoretice [45].

Tabela 4.2: Selected experimental and B971/6-31G(d)-DCP-SDD calculated wave numbers of LuPc₂ complex.

Mode number	Symm.	Theoretical Data				Experimental Data		Assignments	
		Calculated wn [cm ⁻¹]	I _{IR} [%]	I _R [%]	Scaling factor	Scalred wn [cm ⁻¹]	Ref. 1	Ref. 2	
1	A ₁	211	0.00	1.41	0.9707	205		208	Pc stretching
2	A ₁	249	0.05	11.58	0.9707	242		242	ν (Lu-N _{iso})
3	A ₁	290	0.00	6.03	1.0122	294		286	δ_{sym} (LuN ₈)
4	A ₁	359	0.01	0.79	0.9838	353		353	out of plane macrocycle def.
5	A ₁	442	0.29	0.06	0.9838	435	427		out of phase isoindole def.
6	A ₁	481	0.00	2.61	1.0122	487		478	in plane pyrrole def.
7	B ₂	506	2.54	0.04	1.0122	512	501		δ (pyrrole-phenyl)
8	B ₂	509	0.48	0.25	1.0122	515			δ (pyrrole-phenyl)
9	B ₁	570	0.88	0.00	1.0122	577	562		in plane isoindole def.
10	A ₁	583	0.12	1.46	1.0122	590	592	576	in phase Pc breathing
11	B ₂	634	0.27	4.45	1.0122	642	628		in plane isoindole def.
12	A ₁	688	0.50	7.32	1.0122	696	680	679	δ (CNC) + in plane phenyl def.
13	A ₁	744	83.28	0.02	0.9838	732	727		in phase out of plane isoindole def. + ω (CH)
14	B ₂	745	10.19	2.91	1.0122	754	741		in plane isoindole def.
15	A ₂	747	0.01	14.53	1.0122	756		741	in plane isoindole def.
16	B ₁	782	0.00	0.33	0.9838	769		770	out of plane Pc def.
17	A ₁	785	3.39	6.25	0.9838	772		782	out of plane Pc def.
18	A ₁	787	8.29	2.68	0.9838	774	780		out of plane Pc def.
19	A ₁	818	7.78	0.23	1.0122	828	811		isoindole stretching
20	A ₁	825	0.20	6.76	1.0122	835		815	in plane in phase 2Pc def.
21	B ₁	883	0.63	0.03	0.9838	869	887		phenyl out of plane bending
22	A ₁	946	0.37	0.17	0.9838	931	943	941	out of plane CH bending
23	B ₁	1018	2.55	0.13	1.0122	1030	1009		δ (CCC) phenyl
24	B ₁	1067	0.03	49.81	0.9532	1017		1006	ν (CN) pyrrole + δ (CCC) isoindole
25	B ₂	1077	0.11	18.67	0.9532	1027		1030	ν (CN) pyrrole + δ (CCC) isoindole
26	A ₁	1126	21.57	0.83	0.9532	1073	1062		pyrrole str. + ip phenyl def. + δ (CH)
27	B ₂	1130	0.56	31.72	0.9532	1077		1104	pyrrole str. + ip phenyl def. + δ (CH)
28	B ₁	1129	19.07	0.04	0.9724	1098	1116		δ (CH)
29	A ₁	1159	0.00	15.55	0.9724	1127			δ (CH) + phenyl breathing
30	A ₁	1177	0.01	6.03	0.9724	1144		1143	δ (CH) phenyl

Ref. 1 IR KBr pellets [30]; Ref. 2 RR 676.4 nm powder [42]; ν - stretch, δ - bending, ω - wagging, def. - deformation.

Tabela 4.3: Selected experimental and B971/6-31G(d)-DCP-SDD calculated wave numbers of LuPc₂ complex.

Mode number	Symm.	Calculated wn [cm ⁻¹]	Theoretical Data			Experimental Data		Assignments	
			I _{IR} [%]	I _R [%]	Scaling factor	Scalred wn [cm ⁻¹]	Ref.1	Ref.2	
31	A ₁	1189	0.00	10.03	0.9724	1156			$\delta(\text{CH})$ phenyl + isoindole def.
32	B ₁	1192	1.99	0.01	0.9724	1159	1161		$\delta(\text{CH})$ + isoindole def.
33	A ₁	1225	0.00	4.06	0.9724	1192		1214	$\delta(\text{CH})$ + isoindole def.
34	B ₁	1306	3.99	0.00	0.9724	1270	1283		$\delta(\text{CH})$
35	B ₂	1334	100.00	0.30	0.9724	1297	1323		$\delta(\text{CH})$ + $\delta(\text{CNC})$ pyrrole + $\nu(\text{CC})$ phenyl
36	A ₁	1344	0.36	23.02	0.9707	1305		1301	phenyl stretch + pyrrole stretch + $\delta(\text{CH})$
37	A ₁	1364	0.00	23.67	0.9707	1324		1330	phenyl stretch + pyrrole stretch + $\delta(\text{CH})$
38	A ₁	1422	0.00	19.91	0.9532	1355		1345	$\nu(\text{CC})$ + $\delta(\text{CH})$
39	B ₂	1425	0.03	2.51	0.9532	1358			$\nu(\text{CC})$ pyrrole + $\nu(\text{CN}_{\text{aza}})$ + $\delta(\text{CH})$
40	B ₁	1429	9.00	0.02	0.9532	1362	1371		$\nu(\text{CC})$ pyrrole + $\delta(\text{CH})$
41	A ₁	1452	0.00	2.05	0.9707	1409			$\nu(\text{CN}_{\text{aza}})$ + $\delta(\text{NCC})$ pyrrole
42	A ₁	1471	0.00	5.48	0.9707	1428		1423	$\nu(\text{CC})$ phenyl + $\delta(\text{CH})$
43	B ₂	1479	0.20	2.04	0.9724	1438			$\delta(\text{CH})$ + $\nu(\text{CC})$ phenyl
44	B ₂	1482	40.02	0.00	0.9707	1439	1454		$\nu(\text{CN}_{\text{aza}})$ + $\nu(\text{CC})$ phenyl + $\delta(\text{CH})$
45	B ₂	1525	0.08	12.97	0.9707	1480		1447	$\nu(\text{CN}_{\text{aza}})$ + $\delta(\text{CNC})$ pyrrole + $\nu(\text{CC})$ phenyl
46	A ₁	1533	8.47	1.80	0.9707	1488	1490		$\nu(\text{CN}_{\text{aza}})$ + $\delta(\text{CNC})$ pyrrole
47	A ₁	1583	0.00	100.00	0.9707	1537	1521	1525	$\nu(\text{CN}_{\text{aza}})$
48	A ₁	1611	2.42	0.05	0.9707	1564			$\nu(\text{CC})$ + $\delta(\text{CH})$
49	B ₁	1622	2.96	0.00	0.9707	1574			$\nu(\text{CC})$ + $\delta(\text{CH})$
50	B ₂	1622	3.07	0.00	0.9707	1574	1647		
51	B ₂	3195	20.77	0.12	0.9578	3060	3052		$\nu(\text{CH})$
52	B ₁	3215	13.00	0.06	0.9578	3080	3076		$\nu(\text{CH})$

Ref 1. IR KBr pellets [30]; Ref 2. RR 676.4 nm powder [42]; ν - stretch, δ - bending, ω - wagging, def. - deformation.

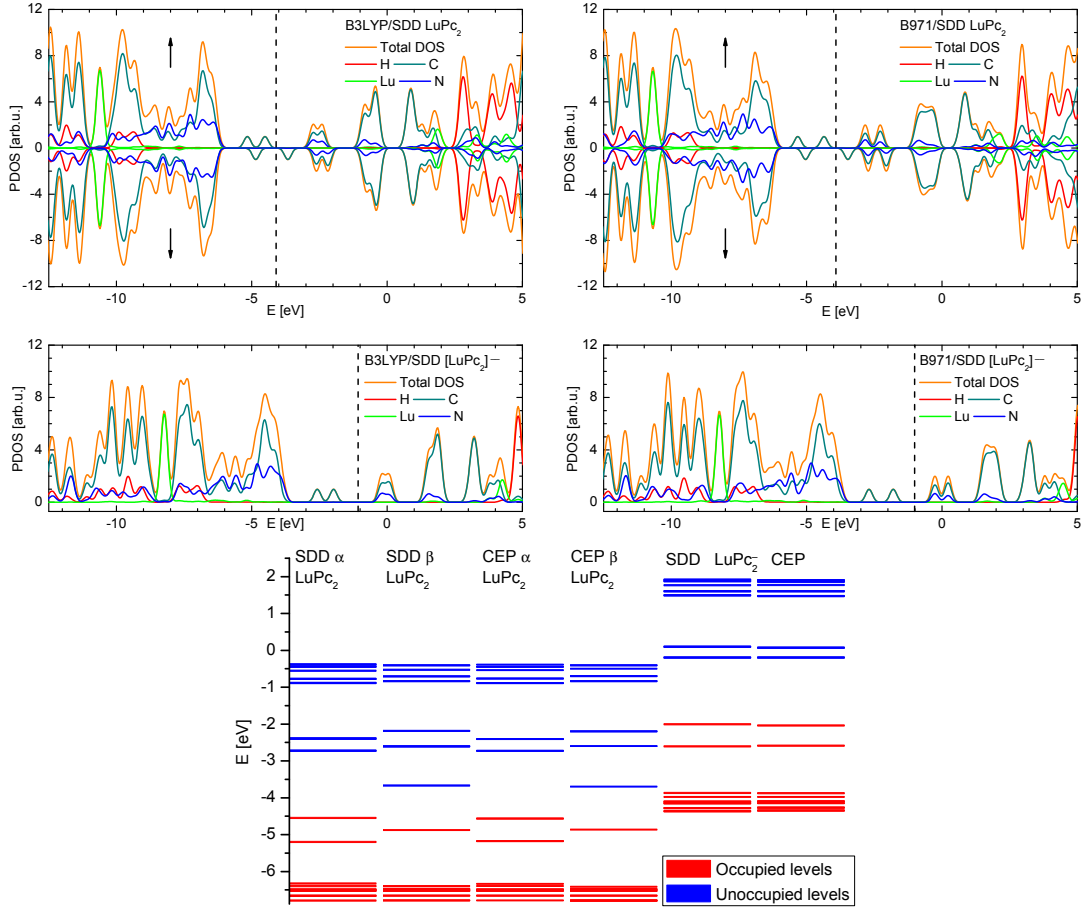


Figura 4.2: Projected density of states computed for the LuPc_2 complex (first row) and the anion (second row) using the B3LYP (left) and B971 (column) functionals for the SDD pseudopotential. The neutrality point is represented by the dashed line. For comparison, the orbital energies of LuPc_2 neutral and anion calculated with SDD and CEP ECPs for the Lu atom are shown in the bottom.

De asemenea, DOS sugereaza interactiuni foarte slabe Intre orbitalii Lu si cele de C , N , sub punctul de neutralitate (de exemplu, energia intermediea Intre statele ocupate si statele neocupate) . O localizare puternic de orbitali Lu este prezent in jur de $\sim -10.5\text{ eV}$, atunci cand se utilizeaza pseudopotential SDD , In timp ce In cazul CEP pseudopotential acest lucru este mutat de la $\sim -16.5\text{ eV}$. Aceasta schimbare poate fi explicata prin faptul ca CEP pseudopotential de $4S$, $4p$ si $4d$ orbitali Lu sunt incluse In miez [46] , In timp ce In cazul SDD pseudopotential aceste orbite sunt tratate In mod explicit si acestea sunt incluse In cojile de valenta [47]. Cu toate acestea , In ambele cazuri , aceste orbitali sunt aproape inert chimic cu suprapunerile foarte mici, cu C si N orbitali . Deasupra punctului de neutralitate , unele interactiuni Intre Lu si C si N orbitali sunt prezente , dar acestea mai putin pronuntata In cazul pseudopotential CEP comparativ cuprind pseudopotential SDD . Interactiunea slabă a atomului Lu cu atomii de N si C , precum si contributia Mos neocupate consum redus de energie a fost , de asemenea, prezentata In Ref . [40].

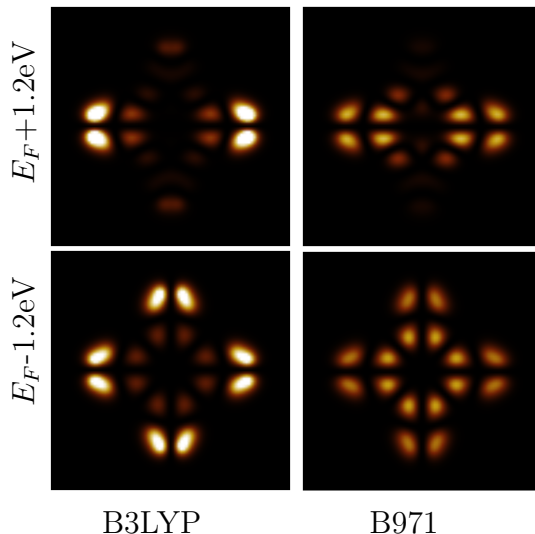


Figura 4.3: STM image for both filled and empty state for a bias voltage of 1.2 V.

4.5 Imagini STM

Imagini STM pentru cazul de cuplare slabă la un substrat metalic au fost obținute cu ajutorul Tersoff - Hamann [48] abordare atât pentru B3LYP și B971 structurile calculate . (Imaginile obținute folosind fie CEP - 121g sau SDD PCU sunt identice .) Prima diferență notabilă între imagini de MSD provine din faptul că B971 oferă modele de culoare mai uniforme . Acest lucru este cauzat defaptul că aceasta organizare permite inele PC puțin distorsionate , care la rândul lor oferă o interacțiune aproape constantă cu varful STM , în timp ce în cazul structurii B3LYP , extremitățile inelelor PC sunt mai aproape de varful STM , da un semnal mai intens .

4.6 Concluzii

Mai întâi de toate , în ceea ce privește structurile moleculare optimizate , se poate conchluza că atomul Lu nu are nici o influență relevantă asupra unghiurilor lungime de obligații și de valență atunci când se compara LuPc_2 cu simpla molecule PC . Un alt aspect important care trebuie menționat este faptul că atât PC macrociclii ca și In aceeași măsură , confirmând ipoteza că electronul nepereche a sistemului de neutru este delocalizat peste tot molecule [49] și susținerea experimentale experimentale de difracție de raze X [38].

Nu există diferențe semnificative între geometriile complexelor moleculare neutre și anioni . Atât în cazul de lungimi de obligații , unghiuri de obligații și diedre , LuPc_2 și $[\text{LuPc}_2]^-$ sunt comparabile , cea mai semnificativă diferență care rezultă doar în ceea ce privește interplanară distanța $\text{Pc} - \text{Pc}$.

Ultimul , dar nu în ultimul rând , am observat , de asemenea, o scadere adomâng

atunci cand se utilizeazaB97 - 1 functionale , ca si pentru calcule DFT regulate . Mai mult decat atat distanta de PC - PC-ul este mai aproape de valorile experimentale , ne conduce la concluzia ca metoda C - vase da rezultate mai bune pentru acest tip de complexe moleculare .

In materie de spectrelor IR si Raman , LuPc₂ benzile de general reproduce cele calculate pentru moleculea Ftalocianina (PC) , fiind observate diferente semnificative doar In ceea ce priveste intensitatile trupa . Ca atare , se poate In primul rand, concluzia ca nu exista vibratii importante, care implica atomul lutetiu , si In al doilea rand , putem spune ca cresterea In intensitate se datoreaza faptului ca complexul molecular contine doua inele ftalocianinici . Vibratiile care au dat nastere la benzi In IR si spectrele Raman sunt vibratii In inelele ftalocianinici . Observam , de asemenea, trupe mai intense In spectrul IR al LuPc₂ anioni

De asemenea, ar trebui sa retineti ca studiul de fata nu este exhaustiv si exista unele aspecte care ar trebui sa fie incluse intr-un studiu viitor. Este bine cunoscut faptul ca complexul molecular LuPc₂ se prezinta sub mai multe stari oxidative (... , [LuPc₂]⁻, LuPc₂, [LuPc₂]⁺, ...) si , prin urmare, ar putea fi folosit cu succes In dispozitiv electronic care va functiona In conformitate cu logica non- binare [50]. Ca urmare , ar fi util sa studieze din punct teoretice si experimentale de vedere, nu numai LuPc₂ neutru si anion , dar si LuPc₂ cationului .

Concluzii finale

Prin utilizarea Densitate Teoria functională (DFT), am analizat proprietatile vibratoiale de siliciu nanotuburi cu pereti unice . Motivatia a prezentei lucrari vine formeaza un studiu recent al Bai et al. , Arata ca astfel de nanostructuri poate afisa un comportament metalic . In timp ce studiile experimentale In domeniu sunt Intr-o faza incipienta , aceste constatari sugereaza deja mai multe aplicatii posibile . Printre acestea , realizarea de sisteme cu conductivitate electrica ridicata , dar cu conductivitate termica redus relativa este deosebit de atractiv . Exact , aceste structuri pot fi candidatii ideali pentru construirea de elemente termoelectrice EFICIENT capabil de a converti direct energia termica In energie electrica . Pentru atingerea acestui obiectiv ,Intelegera deplina a proprietatilor vibrationale ale nanotuburilor de siliciu este de o importanta capitala , deoarece transportul termic este direct legata de proprietatile vibrationale sicupajul electron - fonon . Ca rezultatele finale , vom prezenta structura de banda fononica , densitatea vibrationala de state pentru trei tipuri de siliciu nanotuburi cu pereti unice .

In ceea ce priveste molecula Fe - phen , din punct de vedere al structurii electronice , atomii N₂ au o influenta puternica asupra atat stabilitatea si tranzitia Intre stari de spin , deoarece acestea genereaza un camp simetric la ionul Fe . Campurile generate de N₁ si N₃ atomide lipseste aceasta simetrie , astfel contributiile lor la DOP se afla fie la energii foarte mici , fie pentru statele molecularare neocupate .

Structura de Fe - fen este dovedit a avea o mare flexibilitate , In sensul cavaratiatia unghiului de deschidere a bratelor SCN , (1) modificarea o masura neglijabila de energie a sistemului distorsionat , pentru o gama larga de d_{ss} , (2), nu influenteaza dinamica pls .

Adsorbtia peCu (100) de suprafata a fost studiata utilizandcadrul standardului DFT , si ofera urmatoarele perspective : (1)adsorbtia moleculelor Fe - phen este mai energetic favorizat prin atomi de S , In loc sa prospecte , (2) adsorbtiamoleculei Fe - fen nu este dependenta de spin , In sensul ca nu exista nici configuratii favorabile doar o anumita stare de spin , (3)adsorbtia are loc In principal cu atomul de Fe In partea de sus a unei cu desubstrat , (4)diferenta de energie dintre configuratiile posibile cand se demonstreaza nu permitetrecerea de la o configuratie la alta , chiar la temperatura camerei .

Perspective Instructura Cun / Cu (100) substrat au fost efectuate , care arata ca atomii de N au o Inaltime mai mare decat slightly atomii de Cu . Nu se observa flambaj

sau oscilatorie N Inaltimi .

Adsorbtia pe (100) suprafata CUN / Cu a fost studiata prin scanare atat pe verticala cat si In spatiu de configuratie . Concluzia principala este ca mecanismul de adsorbtie S -based se bazeaza pe apropierea de atomi de S la atomi de Cu . Ca si In cazul adsorbtie pe(100) suprafata de Cu , adsorbtia nu spin- dependente . Noi am studiat configuratii mai energic favorizate (din rezultatele furnizate de scanarile de energie) si a constatat ca Config.no.1 este una dintre cele mai stabile dintre ele . Proprietatile adsorbtie arata casfera de coordonare a atomului de Fe este foarte asemanatoare cu cea amoleculei izolate (In faza gazoasa) . Proprietatile de adsorbtie (de exemplu, imaginile STM) confirmă faptul ca geometriile studiate sunt foarte apropriate de cele experimentale .

In cazul Lu - bisphthalocyanine , se poate concluziona ca atomul Lu nu are nici o influenta relevanta asupra unghiurilor lungime de obligatiuni si de valenta atunci cand se compara LuPc_2 cu simpla molecule PC . Un alt aspect important care trebuie mentionat este faptul ca atat PC macrociclii cot In aceeasi masura , confirmand ipoteza ca electronul nepereche a sistemului de neutru este delocalizat peste tot moleculea [49] si sustinerea experimentale experiente de difractie de raze X [38].

Nu exista diferente semnificative Intre geometriile complexelor moleculare neutre si anioni . Atat In cazul de lungimi de obligatiuni , unghiuri de obligatiuni si diedre , LuPc_2 si $[\text{LuPc}_2]^-$ sunt comparabile , cea mai semnificativa diferență care rezulta doar In ceea ce priveste interplanara distanta $\text{Pc} - \text{Pc}$.

Ultimul , dar nu In ultimul rand , am observat , de asemenea, o scadere adomina la atunci cand se utilizeaza B97 - 1 functionale , ca si pentru calcule DFT regulate . Mai mult decat atat distanta de $\text{PC} - \text{PC}$ -ul este mai aproape de valorile experimentale , ne conduce la concluzia ca metoda C - vase da rezultate mai bune pentru acest tip de complexe moleculare .

In materie de spectrelor IR si Raman , LuPc_2 benzile de general reproduce cele calculate pentru moleculea Ftalocianina (PC) , fiind observate diferente semnificative doar In ceea ce priveste intensitatile trupa . Ca atare , se poate In primul rand, concluzia ca nu exista vibratii importante, care implica atomul lutetiu , si In al doilea rand , putem spune ca cresterea In intensitate se datoreaza faptului ca complexul molecular contine doua inele ftalocianinici . Vibratiile care au dat nastere la benzi In IR si spectrele Raman sunt vibratii In inelele ftalocianinici . Observam , de asemenea, trupe mai intense In spectrul IR al LuPc_2 anionului .

Bibliografie selectiva

1. G. Binnig, H. Rohrer, C. Gerber, E. Wiher, *Phys. Rev. Lett.*, **50**, 120 (1983).
2. Alexandre Reily Rocha, *Theoretical and computational aspects of electronic transport at the nanoscale*. PhD thesis (University of Dublin, Trinity College, 2007).
3. A.R. Rocha, V.M. García-Suárez, S.W. Bailey, C.J. Lambert, J. Ferrer, S. Sanvito, *Nature Materials* **4**, 335 (2005).
4. Iijima S., *Nature*, **354**, 56, (1991).
5. D. Bogdan, R. Isai, A. Calborean and C. Morari, *Physica E*, **44**, 1441, (2012).
6. R.S. Wagner, W.C. Ellis, *Appl. Phys. Lett.*, **4**, 89, (1964).
7. D.F. Perepichka, F. Rosei, *Small*, **2**, 22, (2006).
8. J. Bai, X.C. Zeng, H. Tanaka, J.Y. Zeng, *P.Natl.Acad.Sci.USA*, **101**, 2664, (2004).
9. P. Ordejón, E. Artacho, J.M. Soler, *Phys. Rev. B*, **53**, R10441, (1996).
10. J.M. Soler, E. Artacho, J.D. Gale, *et al.*, *J.Phys.:Condens.Matter*, **14**, 2745, (2002).
11. N. Troullier, J.L. Martins, *Phys. Rev. B*, **46**, 1754, (1992).
12. J.P. Perdew, K. Burke, M. Ernzerhof, *Phys. Rev. Lett.*, **77**, 3865, (1996).
13. M.J. Frisch, G.W. Trucks, H.B. Schlegel, *et.al*, *Gaussian 09, Revision A.02*, Gaussian, Inc., Wallingford CT, 2009.
14. H. Peelaers, B. Partoens, F.M. Peeters, *Nano Lett.*, **9**, 107, (2009).
15. J.K. Böhlke, J.R. de Laeter, P. De Bievre, *et al.*, *J. Phys. Chem. Ref. Data*, **34**, 57, (2005).
16. P. Gütlich, Y. Garcia, H.A. Goodwin, *Chem. Soc. Rev.*, **29**, 419, (2000).
17. D.F. Shriver, P.W. Atkins, C.H. Langford, *Inorganic Chemistry*, 2nd ed.; Oxford University Press, Oxford, Melbourne, Tokyo, (1994).
18. T. Miyamachi, M. Gruber, V. Davesne, *et al.*, *Nat. Commun.*, **3**, 938, (2012).
19. T.G. Gopakumar, F. Matino, H. Naggert, *et al.*, *Angew. Chem. Int. Ed.*, **51**, 6262, (2012).
20. A.D. Becke, *J. Chem. Phys.*, **98**, 5648, (1993). C. Lee, W. Yang, R.G. Parr, *Phys. Rev. B*, **37**, 785, (1988). S.H. Vosko, L. Wilk, M. Nusair, *Can. J. Phys.*, **58**, 1200, (1980). P.J. Stephens, F.J. Devlin, C.F. Chabalowski, M.J. Frisch, *J. Phys. Chem.*, **98**, 11623, (1994).
21. A. Schäfer, C. Huber, R. Ahlrichs, *J. Chem. Phys.*, **100**, 5829, (1994).

22. V. Legrand, S. Pillet, H.-P. Weber, *et al.*, *J. Appl. Crystallogr.*, **40**, 1076 (2007).
- B. Gallois, J.-A. Real, C. Hauw, J. Zarembowitch, *Inorg. Chem.*, **29**, 1152, (1990).
- M. Marchivie, P. Guionneau, *J. Am. Chem. Soc.*, **124**, 194, (2002).
23. M. Reiher, *Inorg. Chem.*, **41**, 6928, (2002).
24. T. Bučko, J. Hafner, S. Lebèque, J.G. Ángyán, *Phys. Chem. Chem. Phys.*, **14**, 5389, (2012).
25. A. Fouqueau, S. Mer, M.E. Casida, *et al.*, *J. Chem. Phys.*, **120**, 9473, (2004).
26. A. Droghetti, D. Alfé, S. Sanvito, *J. Chem. Phys.*, **137**, 124303, (2012).
27. V. Chiş, A. Droghetti, R. Isai, C. Morari, I. Rungger and S. Sanvito, *AIP Conf. Proc.*, **1565**, 57, (2013).
28. P. Gütlich, Y. Garcia, H. A. Goodwin, *Chem. Soc. Rev.*, **29**, 419, (2000).
29. S. Lebègue, S. Pillet, J.G. Ángyán, *Phys. Rev. B*, **78**, 024433, (2008).
30. F. Lu, M. Bao, C. Ma, *et al.*, *Spectrochim. Acta Part A* **59**, 3273 (2003).
31. E. Ortí, J.L. Brédas, C. Clarisse, *J. Chem. Phys.*, **92**, 1228 (1990).
32. I.S. Kirin, P.N. Moskalev, Y.A. Makashev, *Russ. J. Inorg. Chem.*, **10** (1965), 1065.
33. M. Maitrot, G. Guillaud, B. Boudjema, *et al.*, *Chem. Phys. Lett.*, **133** (1987), 59.
34. Y. Açıkbabaş, M. Evyapan, T. Ceyhan, *et al.*, *Sens. Act. B* **135**, 426 (2009).
35. I.D. Mackie, G.A. DiLabio, *J. Phys. Chem. A*, **112**, 10968 (2008).
36. F.A. Hamprecht, A.J. Cohen, D.J. Tozer, N.C. Handy, *J. Chem. Phys.*, **109**, 6264 (1998).
37. S. Grimme, *J. Comput. Chem.*, **27**, 1787 (2006).
38. A. De Cian, M. Moussavi, J. Fischer, R. Weiss, *Inorg. Chem.*, **24**, 3162 (1985).
39. S. Kahlal, A. Mentec, A. Pondaven, M. L'Her, J.-Y. Saillard, *New J. Chem.*, **33**, 574, (2009).
40. I. Bidermane, J. Luder, S. Boudet, *et al.*, *J. Chem. Phys.*, **138**, 234701, (2013).
41. R. Isai, I. Brumboiu, G. Mile, M. Oltean, V. Chiş, in preparation.
42. D.R.T. Zahn, personal communication.
43. W.C. Moreira, R. Aroca, *Spectrochim. Acta A*, **51** (1995) 2325.
44. J.-J. Andre, K. Holczer, P. Petit, *et al.*, *Chem. Phys. Lett.*, **115**, 463, (1985).
45. R. Murdey, M. Bouvet, M. Sumimoto, *et al.*, *Synth. Met.*, **159**, 1677 (2009).
46. T.R. Cundari, W.J. Stevens, *J. Chem. Phys.*, **98**, 5555 (1993).
47. X. Cao, M. Dolg, *J. Chem. Phys.*, **115**, 7348, (2001). X. Cao, M. Dolg, *J. Mol. Struct. (Theochem)*, **581**, 139, (2002).
48. J. Tersoff, D.R. Hamann, *Phys. Rev. B*, **31**, 805, (1985).
49. A. Mentec, A. Pondaven, J.M. Kerbaol, M. L'Her, *Inorg. Chem. Comm.*, **9**, 810 (2006).
50. J. Simon, *C. R. Chimie*, **8**, 893 (2005).